

РОССИЙСКАЯ АКАДЕМИЯ НАУК

ГЕОХИМИЯ

(ОТДЕЛЬНЫЙ ОТТИСК)

МОСКВА

АНАЛИЗ РАСПРЕДЕЛЕНИЯ К, U, Th И В В ВЕРХНЕЮОРСКИХ ОТЛОЖЕНИЯХ ЦЕНТРАЛЬНОЙ ЧАСТИ КРАСНОЛЕНИНСКОГО СВОДА (ЗАПАДНАЯ СИБИРЬ) С ЦЕЛЬЮ ИХ СТРАТИФИКАЦИИ, КОРРЕЛЯЦИИ И ВЫДЕЛЕНИЯ В НИХ ПОТЕНЦИАЛЬНО ПРОДУКТИВНЫХ ПЛАСТОВ

© 2001 г. М. Ю. Зубков

Сибирский НИИ нефтяной промышленности, Минтопэнерго
625016 Тюмень, ул. 50-лет Октября, 118
факс (3452) 25-52-14

Поступила в редакцию после доработки 08.07.99 г.

Обнаружение углеводородных залежей в верхнеюрских отложениях центральной части Красноленинского свода привело к необходимости их стратификации, выделения в их составе пород-коллекторов, их корреляции между скважинами и, наконец, осуществления прогноза их распространения по площади в пределах месторождения или отдельных залежей. Слабая степень изученности этих отложений до последнего времени не позволяла решить эти задачи. В настоящей работе предлагается на основе анализа особенностей распределения ЕРЭ и величины суммарной радиоактивности пород, слагающих верхнеюрские отложения, произвести их стратификацию и выделение в них различных литотипов, включая породы-коллекторы, которым присвоено название потенциально-продуктивных пластов (ППП). Для этого использованы выделенные ранее в составе верхнеюрских отложений 8 зон, характеризующиеся своеобразным литологоминералогическим составом, а также основные литологические типы пород, слагающие их (в том числе ППП). Выполненные исследования показали, что на основе скважинной гамма-спектрометрии возможно проведение стратификации верхнеюрских отложений, выделение в них ППП, а в комплексе с нейтронными геофизическими методами – осуществление оценки емкостных свойств ППП, необходимых для подсчета запасов углеводородов, содержащихся в них. Использование результатов палеогеографической реконструкции условий накопления верхнеюрских отложений, выполненной на основе анализа закономерностей изменения Th/U отношения и содержания В в породах, слагающих различные зоны этих отложений, позволило предложить способ прогноза распространения ППП различного состава.

Получение высокодебитных притоков нефти (до 350 т/сут!) из верхнеюрских отложений в пределах центральной части Красноленинского свода привело к необходимости их тщательного изучения с целью построения детального геологического разреза этих отложений и выделения в их составе продуктивных пластов, содержащих углеводородные залежи.

В пределах рассматриваемого района верхнеюрские отложения залегают на глубинах 2200–2500 м, имеют мощность около 50–80 м и сложены осадками двух свит – баженовской и абалакской, первая из которых традиционно считалась классическим примером нефтематеринской толщи из-за высокого содержания в ней органического материала, а вторая – типичным флюидоупором или покрышкой [1–7].

Комплексные литолого-петрофизические исследования керна, отобранного в пределах центральной части Красноленинского свода из интервалов залегания баженовской и абалакской свит, позволили выделить в них 8 зон, характеризующих-

ся своеобразным литологоминералогическим составом и петрофизическими свойствами, а в каждой из зон потенциально продуктивные пласти (ППП), в которых могут содержаться углеводородные залежи [8].

ППП – это пласти, сложенные прочными, но хрупкими, а также сравнительно легко растворимыми породами, в которых под действием тектонических напряжений, возникающих вследствие движения блоков в фундаменте, формируются многочисленные трещины, по которым затем проникают гидротермальные флюиды, растворяющие неустойчивые минералы, входящие в состав ППП; в результате этих процессов в них образуется вторичный коллектор трещинно-кавернозного типа, заполняемый впоследствии углеводородами или другими пластовыми флюидами [8, 9].

Среди всех типов пород, входящих в состав верхнеюрских отложений, к ППП относятся только кремнистые (силициты и близкие к ним классы пород), а также карбонатные (известняки, мергели и сидеритолиты) литотипы [8, 9].

Поскольку керн отбирается далеко не во всех скважинах (примерно в 1/10 части от всех пробуренных скважин) и характеризуется невысоким процентом выноса, то возникает необходимость использования результатов геофизических исследований скважин (ГИС), которые проводятся в каждой скважине, для стратификации и корреляции верхнеюрских разрезов, вскрытых этими скважинами, а также выделения в них ППП.

Для этого автором предлагается использовать результаты скважинной гамма-спектрометрии, которая позволяет получать данные о содержании K, U, Th, а также величине суммарной радиоактивности пород, вскрытых скважиной.

С целью обоснования возможности использования этого геофизического метода для стратификации, корреляции верхнеюрских отложений и выделения в их составе ППП в настоящей статье рассматриваются особенности распределения естественно-радиоактивных элементов в выделенных ранее в работе [8] в разрезах баженовской и абалакской свит 8 зонах и входящих в их состав ППП.

Следующая важная задача, которую необходимо решить на основе используемых данных ГИС, – это оценка емкостных свойств ППП, без знания которых невозможно оценить запасы углеводородного сырья, содержащегося в них.

Для этого нами предлагается использовать нейтронные геофизические методы, которые позволяют определять суммарное содержание водорода в породах, слагающих вскрытый скважиной разрез. Однако для определения объема пустот, заполненных углеводородами, необходимо из величины общего водородосодержания исключить долю водорода, связанную с минеральной и органической компонентами, в состав которых он также входит.

Из всех минералов, слагающих верхнеюрский разрез, водород входит в состав только глинистых минералов, а из органических остатков – в кероген. Поэтому для корректного определения величины пустотности в ППП и других литологических типах пород (далее литотипах) необходимо установить концентрацию в них глинистых минералов и керогена.

Содержание глинистых минералов обычно оценивается по результатам скважинной гамма-спектрометрии, для чего используют связи концентрации глинистых минералов с Th, реже K [10], поэтому в настоящей работе детально рассмотрены эти связи и обоснованы границы их применения.

Для определения содержания в верхнеюрских породах керогена на основе данных скважинной гамма-спектрометрии, нами детально исследована его связь с ураном, которая считается фундаментальной для отложений, обогащенных органическим веществом [10–15].

На показания некоторых видов нейтронных методов значительное влияние оказывает содер-

жание В в породах, так как этот элемент имеет аномально большой радиус захвата нейтронов, поэтому при интерпретации этих методов необходимы данные о его концентрации в анализируемых породах. В добавок из-за известной связи этого элемента с глинистыми минералами [16–19] можно попытаться спрогнозировать их содержание в разрезе по концентрации В, определенной специальными разновидностями нейтронных геофизических методов, что необходимо, как уже упоминалось выше, для оценки доли водорода в породе, связанной с глинами.

Поэтому в настоящей работе детально рассмотрены особенности распределения В в верхнеюрских отложениях и его связь с глинистыми минералами и K, а также керогеном, как возможным его концентратором.

После стратификации верхнеюрских отложений и выделения в их составе ППП, а также обоснования возможности оценки их емкостных свойств на основе комплекса радиоактивных и нейтронных методов ГИС, осталась нерешенной последняя задача – прогноз площадного распространения ППП в пределах рассматриваемого района.

Ее решение по нашему мнению возможно на основе комплексирования данных о распределении радиоактивных элементов, в частности, с использованием известного “фациального” Th/U отношения [20, 21], содержания В и результатов сейсморазведки. Решению этой проблемы посвящен заключительный раздел настоящей работы.

Основой данной статьи послужили результаты комплексных литолого-geoхимических исследований коллекции из 170 образцов, отобранных из 6 скважин, пробуренных в пределах центральной части Красноленинского района – Ем-Еговская и Пальяновская площади (рис. 1).

МЕТОДЫ ИССЛЕДОВАНИЯ

Вещественный состав пород, слагающих верхнеюрские отложения рассматриваемого района, исследовался комплексом физических и химических методов, включающих оптическую и электронную микроскопию, рентгено-структурный, спектральный и силикатный виды анализов.

Содержание главных породообразующих минералов определено с точностью 3–5% (абс.) и приводится в весовых процентах.

Концентрация керогена в породах получена расчетным способом по содержанию в них органического углерода ($C_{\text{опр}}$) на основе данных о его усредненном элементном составе [22]. Содержание $C_{\text{опр}}$ определено на установке АН-7529 путем высокотемпературного нагрева отобранных образцов в токе кислорода, причем из них предварительно были удалены карбонатные минералы. Точность определения $C_{\text{опр}}$ в образцах зависит от

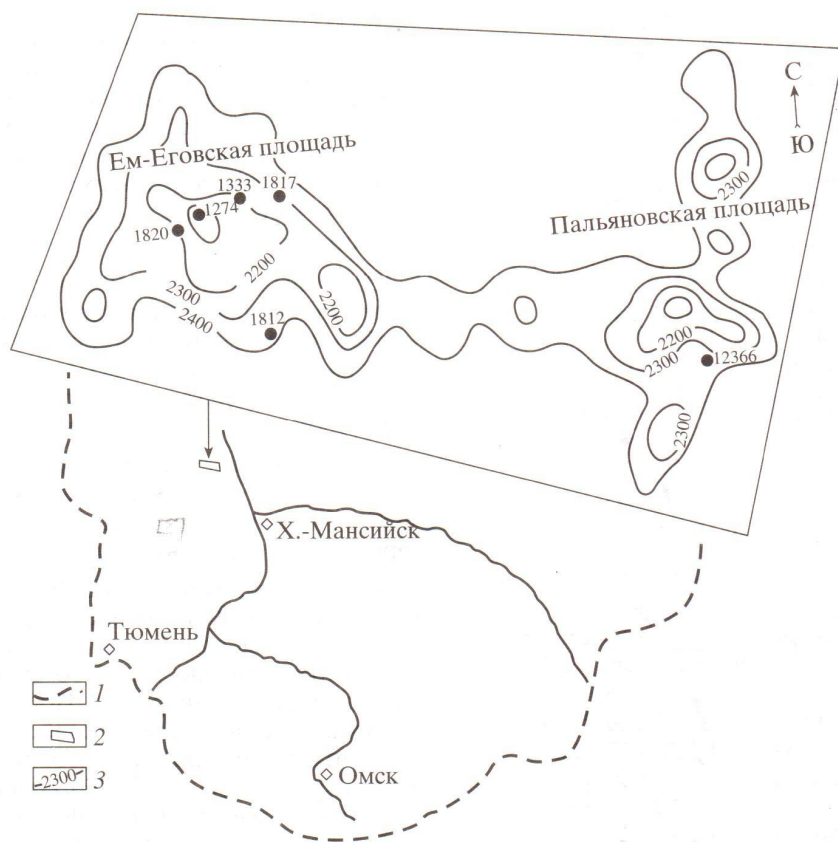


Рис. 1. Местоположение участка работ с расположением скважин, из которых был отобран керн для исследования содержания ЕРЭ и суммарной радиоактивности верхнеюрских отложений центральной части Красноленинского свода. 1 – границы распространения верхнеюрских отложений в пределах центральной и южной частей Западно-Сибирской плиты; 2 – местоположение участка работ; 3 – изогипсы кровли верхнеюрских отложений.

содержания в них органического материала и в среднем составляет 0.05–0.2% (абс.). Данные о содержании C_{opr} и керогена приведены в настоящей работе в весовых процентах.

Распределение естественно-радиоактивных элементов (ЕРЭ) и суммарная радиоактивность определялась методом сцинтилляционной гамма-спектрометрии. Точность определения радиоактивных элементов и суммарной радиоактивности зависит от их концентрации в образцах и в среднем составляет около 15% (отн.).

Концентрация бора в образцах определялась спектральным методом, точность определений составляет около 10% (отн.).

СТРАТИФИКАЦИЯ ВЕРХНЕЮРСКИХ ОТЛОЖЕНИЙ НА ОСНОВЕ АНАЛИЗА РАСПРЕДЕЛЕНИЯ В НИХ ЕСТЕСТВЕННО-РАДИОАКТИВНЫХ ЭЛЕМЕНТОВ

На основе детальных литолого-минералогических исследований в составе верхнеюрских отложе-

ний выделены восемь зон и одна подзона, различающиеся по вещественному составу [8] (рис. 2).

В их составе выделяются две геохимические фации – пиритовая и хлорит-сидеритовая, которые надежно различаются по отсутствию в составе пород пиритовой фации хлорита и сидерита [2]. В условиях пиритовой геохимической фации находятся осадки баженовской (Бж) и верхней части абалакской ($Aб_1$ – $Aб_2$) свит, а в условиях хлорит-сидеритовой фации – средняя и нижняя части абалакской свиты ($Aб_3$ – $Aб_5$). Пирит присутствует в составе обеих выделенных фаций.

В составе средней части абалакской свиты на границе между хлорит-сидеритовой и пиритовой фациями нами выделяется глауконитовая¹ подфация хлорит-сидеритовой фации, совпадающая

¹ Глинистый минерал, диагностированный на основе рентгено-структурного анализа как глауконит, может быть селадонитом, так как использованный метод не дает возможности установить распределение в структуре минерала и содержание Na, Fe, Mg и Al, что необходимо для точного разделения их между собой.

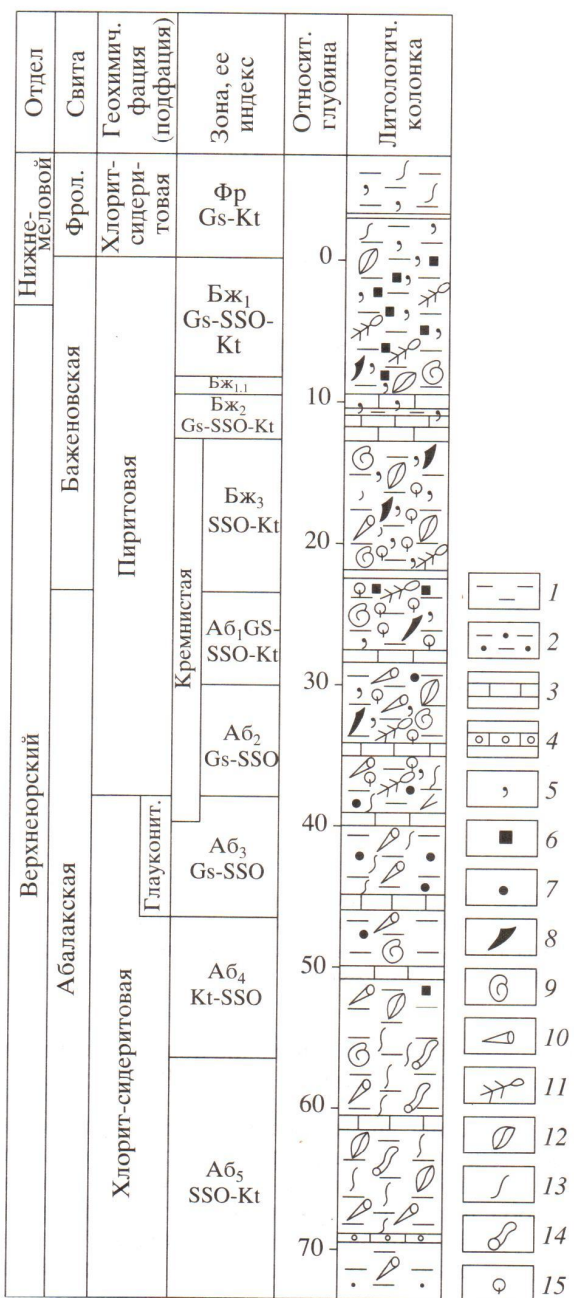


Рис. 2. Сводный литологический разрез верхнеюрских отложений центральной части Красноленинского свода.

1–4 – литологические типы пород: 1 – глины (аргиллиты), 2 – алевролиты, 3 – известняки, 4 – оолитовые известняки; 5 – присутствие в породах битумоидов; 6–7, 15 – минералогические характеристики, присутствие: 6 – пирита, 7 – глауконита (седлонита?), 15 – аутигенного (биогенного) кремнезема; 8–12, 14 – палеонтологические характеристики, присутствие: 8 – онехитесов тетида, 9 – раковин аммонитов, 10 – ростров белемнитов, 11 – ихтиодетрита, 12 – раковин двустворок, 14 – ходов илоедов; 13 – наличие трещиноватости или поверхности скольжения. Аббревиатуры в индексах зон: Gs – гидрослюды, Kt – каолинит, SSO – смешанослойные образования на основе гидрослюд и монтмориллонита.

по положению с зоной Аб₃ (рис. 2). В отличие от однозначно определяемой границы между хлорит-сидеритовой и пиритовой фациями, рассматриваемая подфация не имеет таких резких границ и выделена по преобладанию глауконита над другими типами глинистых минералов. Некоторое количество глауконитовых зерен встречено как в верхней части зоны Аб₄, так и в подошвенной части зоны Аб₂.

Для определения возможности идентификации выделенных ранее в верхнеюрском разрезе по особенностям вещественного состава 8 зон, а также и на основе их радиоактивных свойств (по данным скважинной гамма-спектрометрии), рассмотрим особенности распределения в них K, U и Th.

С целью сравнения с верхнеюрскими отложениями исследовано несколько образцов, отобранных из подошвенной части перекрывающей их фроловской свиты нижнемелового возраста.

Фроловская свита (зона Фр, Gs-Kt). Получила свой индекс Gs-Kt из-за преобладания в ее составе гидрослюд и каолинита, составляющих в среднем, соответственно, около 16–20 и 55–61% от суммы глинистых минералов. Породы свиты представлены темно-серыми слабо битуминозными алевритистыми глинами с повышенным содержанием керогена (около 5–8%), содержащими мало мощные (около 0.3–0.5 м) прослои бурых мергелей, в которых карбонатный материал представлен исключительно сидеритом.

Суммарная радиоактивность пород, слагающих описываемую зону, варьирует от 1.94 до 7.57 (г-экВRa/g) × 10⁻¹² (табл. 1). Основной вклад в суммарную радиоактивность пород (в среднем более половины) вносит U, вторым по значимости является Th (около 25%) и на последнем месте находится K (около 16%). Среди пород, слагающих эту зону, минимальную радиоактивность имеют мергели (1.94 (г-экВRa/g) × 10⁻¹²).

Баженовская свита. Зона Бж₁ (Gs-SSO-Kt) слагает кровельную часть свиты, имеет мощность около 8–10 м. Индекс отражает примерно одинаковое соотношение здесь глинистых минералов – гидрослюды, каолинита и смешанослойных образований (CCO) на основе иллита и монтмориллонита с долей набухающих слоев около 10–15%.

Зона сложена темно-серыми до черных сильно битуминозными породами, характерной особенностью которых является очень высокое содержание в них керогена (в среднем около 25–27%) и особенно пирита (30–35%), поэтому ее можно назвать керогеново-пиритовой. Пирит присутствует здесь в виде многочисленных очень тонких (около 0.02 мм толщиной) слойков. Отмечается также в ее составе довольно значительная концентрация аутигенного (биогенного) кремнезема (30–39%) [8].

Таблица 1. Распределение содержаний радиоактивных элементов и бора в отложениях фроловской, баженовской и абалакской свит центральной части Красноленинского свода

Зона (кол-во обр.)	Суммарная радиоактивность, (г-эквRa/г) × 10 ⁻¹²	Содержание радиоактивных элементов			Вклад в суммарную радиоактивность, %			Отношение Th/U	Содержание В, ppm
		K, %	U, ppm	Th, ppm	K	U	Th		
Фр (5)	1.94–7.57 5	0.58–1.86 1.39	3.6–15.3 9.3	1.0–13.5 6.8	8.7–29.3 16.4	42.4–66.5 59	21.0–28.3 24.6	0.08–1.57 0.89	76–120 89
Бж ₁ (9)	5.66–27.37 15.07	1.02–1.37 1.14	13.3–78.3 41.6	2.2–7.8 5.4	2.2–10.7 4.9	77.4–94.3 89	2.0–11.9 6.1	0.05–0.36 0.16	46–150 88
Бж _{1.1} (2)	10.14–25.00 17.57	1.30–1.85 1.58	23.1–70.8 47.0	7.0–11.0 9.0	2.8–9.5 6.1	75.3–93.4 84.4	3.8–15.2 9.5	0.10–0.47 0.29	130
Бж ₂ (6)	0.92–13.43 5.24	0.15–1.11 0.46	2.4–36.3 13.8	0.1–5.0 1.8	3.2–10.9 6.6	80.5–92.3 87.5	2.1–10.0 5.9	0.01–0.24 0.1	14–130 55
Бж ₃ (34)	3.98–17.32 11.37	0.21–1.55 0.97	10.0–50.5 31.3	0.5–9.6 3.7	1.2–9.9 4.2	79.3–96.7 90	0.6–14.2 5.8	0.01–0.43 0.13	36–110 77
Аб ₁ (17)	1.18–5.56 3.63	0.67–2.33 1.45	1.4–12.6 7.1	0.3–7.5 4.5	13.9–48.0 22.5	18.1–79.4 60.2	4.0–33.9 17.3	0.16–4.43 0.83	42–130 84
Аб ₂ (14)	0.78–4.29 2.76	0.66–2.90 1.66	0.3–5.5 3.3	2.4–9.0 5.6	20.5–44.0 32.6	11.4–56.5 38.2	21.1–44.6 29.2	0.85–9.15 3.45	23–110 83
Аб ₃ (32)	0.67–5.74 3.32	0.35–3.32 1.92	1.1–8.9 4.0	0.3–11.9 5.8	8.2–54.5 34.7	18.2–55.9 40.4	7.0–42.0 24.9	0.30–4.70 1.69	76–150 119
Аб ₄ (24)	0.39–4.80 2.48	0.28–3.01 1.75	0.4–6.0 2.4	0.02–9.1 5.2	26.6–51.3 38.3	16.8–61.2 32.8	0.8–44.0 28.9	0.30–5.80 2.47	42–140 93
Аб ₅ (30)	0.74–6.60 2.78	0.42–2.59 1.67	0.5–8.0 2.5	0.9–18.7 7.6	17.0–45.8 33.4	6.8–44.8 29.7	16.5–55.2 36.9	0.86–16.67 3.48	50–120 93

Примечание. Здесь и в последующих таблицах в числителе – минимальные и максимальные значения параметра, в знаменателе – его средняя величина.

От перекрывающих ее отложений фроловской свиты зона отличается не только вещественным составом, но и параметрами радиоактивности. Величина суммарной радиоактивности пород, слагающих описываемую зону, возрастает примерно в 3 раза по сравнению с отложениями подшвейной части фроловской свиты и составляет в среднем около 15 (г-эквRa/г) × 10⁻¹² (табл. 1). Характерно резкое увеличение вклада U в суммарную радиоактивность (до 90–94%), что ранее отмечалось и другими исследователями [13, 15]. Поэтому на основании данных радиоактивного каротажа или скважинной гамма-спектрометрии можно достаточно надежно определить границу между фроловской и баженовской свитами.

Переходная маломощная подзона Бж_{1.1} (рис. 2) имеет приблизительно такое же соотношение глинистых минералов в своем составе как и в пе-

рекрывающей ее зоне Бж₁, поэтому ей так же присвоен индекс Gs-SSO-Kt. Подзона отличается от вышележащей зоны резким уменьшением в составе слагающих ее пород пирита (до 13–14%) и увеличением концентрации керогена – в среднем до 27%, поэтому ее можно также называть керогеновой зоной. Соотношение кремнистого и глинистого материала сохраняется примерно таким же как и в перекрывающей ее зоне Бж₁.

Величина суммарной радиоактивности пород, слагающих эту подзону, немного выше, чем у отложений предыдущей зоны (в среднем около 17.6(г-эквRa/г) × 10⁻¹²). Вклад U в суммарную радиоактивность немного снижается, а K и, особенно, Th, возрастает (табл. 1).

Зона Бж₂, мощностью всего около 2.5–3 м, имеет тот же индекс Gs-SSO-Kt из-за близкого относительного содержания всех входящих в ее со-

став глинистых минералов. Главным отличием описываемой зоны от предыдущих является повышенное содержание в ее составе карбонатных литотипов (мергелей и известняков), поэтому ей можно также добавить название карбонатная. Суммарное содержание карбонатных минералов, представленных кальцитом и доломитом, составляет в среднем около 70%. В этой зоне резко уменьшается концентрация керогена (до 3–6%).

От перекрывающих и подстилающих отложений породы описываемой зоны отличаются пониженными значениями суммарной радиоактивности (в среднем около $5.2(\text{г-эквRa/g}) \times 10^{-12}$), довольно высокой долей U в суммарной радиоактивности (в среднем около 88%) и небольшим превышением вклада K над вкладом Th (табл. 1).

Зона Бж₃, слагающая подошвенную часть баженовской свиты имеет мощность около 10 м. Из-за преобладания в составе глинистых минералов ССО (до 30%) и каолинита (до 70%) ей присвоен индекс SSO-Kt. Для описываемой зоны характерно довольно высокое содержание в породах биогенного кремнезема (в среднем около 40%), поэтому ее можно назвать также кремнистой, что характерно и для подстилающих ее зон, входящих в состав верхней части абалакской свиты (рис. 2). Концентрация керогена в породах составляет в среднем около 10%, довольно много пирита – до 18%, карбонатов, напротив, немного – в среднем около 10%.

Породы, слагающие эту зону, имеют довольно высокую суммарную радиоактивность (в среднем около $11.4(\text{г-эквRa/g}) \times 10^{-12}$). Доля U в суммарной радиоактивности очень высока и достигает почти 97% (при среднем для зоны значении 90%). Вклад Th в суммарную радиоактивность чуть выше K (табл. 1).

Абалакская свита. Самая верхняя зона этой свиты (Аб₁) имеет мощность около 5–6 м. Из-за приблизительно одинакового относительного содержания всех глинистых минералов, входящих в ее состав, ей присвоен индекс Gs-SSO-Kt. Как и перекрывающая ее баженовская свита, описываемая зона сложена темно-серыми, но уже слабо битуминозными довольно прочными породами. В их составе преобладает аутигенный (биогенный) кремнезем (до 57%, при средней по зоне концентрации около 41%). Содержание керогена значительно уменьшается (в среднем до 5–6%), пирита также немного меньше (около 9%), чуть выше среднее содержание карбонатов (в среднем 17%). Эта зона, как и предыдущая, может быть названа кремнистой (рис. 2).

Породы зоны Аб₁ имеют заметно более низкую суммарную радиоактивность по сравнению с радиоактивностью перекрывающих ее отложений баженовской свиты (примерно в 3 раза). Суммарная радиоактивность пород, слагающих зону Аб₁,

составляет в среднем всего около $3.6(\text{г-эквRa/g}) \times 10^{-12}$. Характерно резкое уменьшение доли U в суммарной радиоактивности (в среднем около 60%) и, в отличие от баженовских отложений, на втором месте по вкладу в суммарную радиоактивность находится K (табл. 1).

Таким образом, и по значению суммарной радиоактивности, и по вкладам в ее величину отдельных ЕРЭ, подошвенная часть отложений баженовской свиты надежно отличается от пород, входящих в состав верхней части абалакской свиты. Поэтому используя результаты радиоактивного каротажа и/или данные скважинной гамма-спектрометрии можно легко провести границу между баженовской и абалакской свитами в разрезах верхнеюрских отложений, вскрытых той или иной скважиной.

Зона Аб₂ имеет мощность около 6–8 м. Из-за преобладания в ее составе среди глинистых минералов гидрослюды (в среднем около 36% от их суммы) и ССО (около 45–55%), ей присвоен индекс Gs-SSO. Таким образом, наблюдается резкое уменьшение в составе глинистых минералов доли каолинита. Эта зона является последней в составе отложений, относящихся к пиритовой geoхимической фации (рис. 2). Для этой зоны характерна высокая концентрация аутигенного (биогенного) кремнезема (в среднем около 42%). Содержание глинистых минералов, карбонатов и пирита сохраняется приблизительно на том же уровне, что и в зоне Аб₁, продолжается дальнейшее снижение концентрации керогена (до 3–4%).

Суммарная радиоактивность пород зоны Аб₂ ниже, чем пород зоны Аб₁, и составляет в среднем около $2.7(\text{г-эквRa/g}) \times 10^{-12}$. Наблюдаются еще более значительное уменьшение вклада U в суммарную радиоактивность (в среднем около 38%), напротив, вклад K возрастает в среднем почти до 33%, а Th – до 29% (табл. 1).

Осадки зоны Аб₃, мощностью около 6–8 м, принадлежат хлорит-сидеритовой geoхимической фации. Зона Аб₃ как и Аб₂ имеет индекс Gs-SSO из-за преобладания в ее составе гидрослюды (в среднем около 22% от суммы глинистых минералов) и ССО, представленных глауконитом (около 40–45%). Породы зоны Аб₃, в отличие от перекрывающих отложений, серые с зеленым оттенком, гораздо более рыхлые, небитуминозные, в них встречаются многочисленные обломки ростров белемнитов. По сравнению с зоной Аб₂ понижается концентрация аутигенного (биогенного) кремнезема, увеличивается доля терригенного материала алевритовой размерности, растет содержание глинистых минералов (в среднем до 40–42%), снижается концентрация пирита (до 7–9%) и керогена (до 1–1.4%).

Породы зоны Аб₃ характеризуются невысокой суммарной радиоактивностью (около

$3.3 (\text{г-эквRa/g}) \times 10^{-12}$. Основной вклад в суммарную радиоактивность вносят U (около 40%) и K (примерно 35%).

Зона Аб₄ имеет примерно такую же мощность, что и предыдущая (около 6–8 м). Она получила индекс Kt-SSO из-за увеличения в составе слагающих ее пород доли каолинита (в среднем 25% от суммы глинистых минералов), основной вклад по-прежнему принадлежит SSO (около 46%), однако доля глауконита быстро уменьшается по направлению к подошве этой зоны, и уже в средней ее части он не встречается. Породы имеют серый цвет, преимущественно глинистый состав, очень рыхлые, легко растираются пальцами. В зоне Аб₄, как и в предыдущих, встречаются маломощные карбонатные пласти, представленные мергелями и известняками с очень низким содержанием в них пирита (не более 2–3%) и керогена (0.1–0.2%). Средняя концентрация терригенных обломков алевритовой размерности, имеющих преимущественно кварц-полевошпатовый состав, близка к 16–18%. В этой зоне отмечается самое высокое суммарное содержание глинистых минералов – 75–85% (в среднем 58%). Содержание пирита около 5–6%, а керогена – 0.8–1.1%.

Породы зоны Аб₄ имеют минимальную по разрезу величину суммарной радиоактивности (в среднем около $2.5 (\text{г-эквRa/g}) \times 10^{-12}$), основной вклад в нее вносит K – около 38 и U – 32% (табл. 1).

Зона Аб₅, находящаяся в подошвенной части отложений абалакской свиты, имеет наибольшую среди выделенных зон мощность (в среднем около 16–18 м). Преобладание в ее составе ССО (около 20% от суммы глинистых минералов) и каолинита (50–55%) определяет индекс зоны – SSO-Kt. Она сложена серыми сильно алевритистыми глинами, содержащими маломощные прослойки мергелей и известняков. Среднее содержание глинистых минералов в ней 35–40%, пирита – 6% и керогена – 1%.

Суммарная радиоактивность пород зоны Аб₅ немного выше радиоактивности перекрывающих ее отложений и составляет в среднем около $2.8 (\text{г-эквRa/g}) \times 10^{-12}$. Основной вклад в суммарную радиоактивность, в отличие от всех предыдущих зон, вносит Th (почти 37%), на втором месте K (чуть больше 33%).

Таким образом, на основе данных о распределении в верхнеюрских отложениях ЕРЭ и их суммарной радиоактивности, можно диагностировать все 8 зон, выделенные в их составе на основе особенностей литолого-минералогического состава этих зон.

Следовательно, используя результаты скважинной гамма-спектрометрии, выполненной в различных скважинах рассматриваемого района, можно провести стратификацию и корреляцию

верхнеюрских отложений путем разделения их в каждой из скважин на 8 зон.

ВЫДЕЛЕНИЕ РАЗЛИЧНЫХ ЛИТОТИПОВ И ППП В ВЕРХНЕЮРСКИХ ОТЛОЖЕНИЯХ НА ОСНОВЕ ДАННЫХ О РАСПРЕДЕЛЕНИИ В НИХ ЕРЭ И ИХ СУММАРНОЙ РАДИОАКТИВНОСТИ

Анализ характера распределения ЕРЭ и суммарной радиоактивности различных литотипов, выделенных первоначально на основе литолого-минералогических исследований в составе каждой из 8 зон и описанных в работе [8], показал, что они могут быть диагностированы также и на основе данных гамма-спектрометрических исследований.

В составе зоны Бж₁ и подзоны Бж_{1.1} выделен один литотип, представленный глинистыми силицитами, которые имеют довольно близкие параметры радиоактивных свойств (табл. 1 и 2). Основные отличия между этими зонами заключаются в более высокой общей радиоактивности пород, слагающих подзону Бж_{1.1}, что обусловлено самым высоким содержанием в ее составе керогена и глинистых минералов, а также снижением концентрации пирита [8]. Однако относительное содержание U или его вклад в радиоактивность ниже, чем в зоне Бж₁. Кроме того, в ней больше вклад в суммарную радиоактивность Th, поэтому Th/U отношение в этой подзоне выше, чем в перекрывающих ее осадках зоны Бж₁ (табл. 2). ППП в составе этих осадков нет.

Зона Бж₂ сложена двумя основными разновидностями пород – мергелями и известняками, которые по своим физико-химическим свойствам (прочные, но хрупкие и к тому же легко растворимые) относятся к ППП. Оба литотипа достаточно надежно отделяются пониженными значениями величины суммарной радиоактивности от более глинистых литотипов подстилающих и перекрывающих их. Снижение суммарной радиоактивности объясняется уменьшением концентрации в них ЕРЭ. Мергели и известняки различаются между собой как по величине суммарной радиоактивности, так и по концентрациям в них ЕРЭ (табл. 2).

В составе зоны Бж₃ выделены три основных литотипа – кремнистые глины, карбонатно-глинистые силициты и глинисто-кремнистые мергели (табл. 2). Последние два относятся к ППП. Кремнистые глины надежно отличаются от силицитов и мергелей по всем радиоактивным характеристикам, а именно, повышенной суммарной радиоактивностью, обусловленной значительными концентрациями ЕРЭ, особенно U и Th. Силициты и мергели имеют довольно близкие значения суммарной радиоактивности, однако разли-

Таблица 2. Усредненные характеристики радиоактивных свойств верхнеюрских пород различных литологических типов центральной части Красноленинского свода

Зона, литотип (кол-во обр.)	Суммарная радиоактивность, (г-эквRa/g) × 10 ⁻¹²	Содержание радиоактивных элементов			Вклад в суммарную радиоактивность, %			Отношение Th/U
		K, %	U, ppm	Th, ppm	K	U	Th	
Бж ₁ , гл. силицит (9)	5.66–27.37 15.07	1.02–1.37 1.14	13.3–78.3 41.6	2.2–7.8 5.4	2.2–10.7 4.9	77.4–94.3 89	2.0–11.9 6.1	0.05–0.36 0.16
Бж _{1.1} , гл. силицит (2)	10.14–25.00 17.57	1.30–1.85 1.58	23.1–70.8 47.0	7.0–11.0 9.0	2.8–9.5 6.1	75.3–93.4 84.4	3.8–15.2 9.5	0.10–0.47 0.29
Бж ₂ , мергель (2)*	5.07–13.43 9.25	0.70–1.11 0.91	13.0–36.3 24.6	3.1–4.9 4.0	4.3–7.2 5.8	84.3–90.5 87.4	5.2–8.5 6.8	0.14–0.24 0.19
Известняк (4)*	0.92–6.94 3.24	0.15–0.42 0.24	2.4–19.4 8.3	0.1–2.3 0.6	3.2–10.9 7	80.5–92.3 87.6	2.1–10.0 5.4	0.01–0.12 0.05
Бж ₃ , кремн. глина (24)	9.04–17.32 12.7	0.66–1.66 1.08	22.7–50.5 34.9	0.5–9.6 4.3	2.0–6.5 4.7	79.3–96.0 90.3	2.0–14.2 5	0.04–0.42 0.14
Карб.-гл. силицит (6)*	3.98–9.40 7.8	0.34–1.15 0.75	10.0–29.4 21.8	0.9–4.1 2.7	1.9–9.9 5.7	82.5–96.7 89.1	1.4–7.6 5.2	0.03–0.22 0.14
Гл.-кремн. мергель (3)*	4.87–9.98 8.15	0.21–0.64 0.4	14.1–29.0 23.6	0.2–2.8 1.3	1.2–3.8 2.8	94.7–95.6 95.3	0.6–4.1 1.9	0.01–0.10 0.04
Аб ₁ , кремн. глина (10)	2.52–5.62 4.67	1.14–2.33 1.63	1.4–12.6 8.9	3.2–6.8 5.1	13.9–48.0 24	18.1–73.8 55.9	11.0–33.9 20.1	0.35–4.43 1.11
Карб.-гл. силицит (5)*	1.18–4.42 2.85	0.74–1.55 1.22	2.0–8.0 5.0	0.3–7.5 4.0	11.8–48.0 25.2	45.1–70.4 57.4	4.0–26.5 17.4	0.16–1.38 0.74
Мергель (1)*	2.4	0.67	5.8	1.0	14.6	79.4	6	0.18
Аб ₂ , гл. силицит (6)*	1.58–3.20 2.73	0.99–1.76 1.42	2.2–5.5 4.0	2.4–6.6 4.9	23.1–33.3 27.7	39.4–56.5 47.3	20.4–30.6 25	0.85–1.69 1.29
Кремн. глина (5)	3.16–4.29 3.58	1.33–2.90 2.31	2.0–5.5 3.9	6.4–9.0 7.9	20.5–41.6 33.7	21.2–53.3 35.1	26.2–40.0 31.2	1.16–4.45 2.45
Кремн.-гл. мергель (2)*	1.61–1.88 1.75	1.08–1.53 1.31	1.5–1.8 1.7	3.2–4.2 3.7	34.9–42.5 38.7	26.5–36.9 31.7	28.2–31.0 29.6	1.79–2.77 2.28
Известняк (1)*	0.78	0.66	0.3	2.5	44	11.4	44.6	9.15
Аб ₃ , гл. силицит (7)*	2.02–3.85 2.87	0.83–1.49 1.21	2.3–5.7 3.7	3.8–6.2 5.4	24.8–37.7 32.6	33.1–55.9 42.2	19.3–29.0 25.2	0.75–1.91 1.35
Кремн. и алевр. глины (19)	2.63–4.91 3.83	1.33–3.32 2.54	1.9–5.9 4.1	3.7–11.9 7.0	30.0–54.5 39.2	18.2–51.4 34.4	17.2–42.0 26.4	0.80–4.70 2.04
Мергель (3)	1.37–2.29 1.98	0.35–1.29 1.0	2.2–2.9 2.6	2.3–5.4 4.1	19.7–30.6 26.5	37.6–54.1 44.4	26.2–33.1 29.1	1.05–2.07 1.57
Известняк (1)*	0.67	0.5	1.1	0.3	38.8	54.2	7	0.3
Известняк (1)**	3.6	0.56	8.9	2.7	8.2	81.4	10.4	0.3
Аб ₄ , алевр. глина (16)	2.58–4.80 3.16	1.14–3.01 2.28	1.4–6.0 3.0	1.6–9.6 6.6	26.6–51.3 40	16.8–50.4 30.3	7.5–41.0 29.7	0.35–5.80 2.8

Таблица 2. Окончание

Зона, литотип (кол-во обр.)	Суммарная радиоактивность, ($\mu\text{-эквRa/g}$) $\times 10^{-12}$	Содержание радиоактивных элементов			Вклад в суммарную радиоактивность, %			Отношение Th/U
		K, %	U, ppm	Th, ppm	K	U	Th	
Мергель (3)*	1.15–1.59 1.3	0.70–0.81 0.75	0.9–2.8 1.7	1.8–3.7 2.4	26.6–33.6 30.5	24.7–57.5 42.2	15.9–44.0 27.3	0.65–1.18 1
Известняк (4)*	0.39–0.82 0.64	0.28–0.63 0.49	0.4–0.8 0.7	0.02–1.9 1.2	36.7–44.1 39.7	19.2–61.2 37.6	0.8–36.7 22.7	0.30–4.60 2.14
Ab ₅ , алевр. глина (25)	2.05–6.60 3.01	1.20–2.59 1.88	0.5–8.0 2.7	4.1–18.7 8.2	20.5–45.8 34	6.8–44.8 28.7	27.3–50.0 37.3	1.35–16.67 3.62
Мергель (3)*	0.74–2.53 1.71	0.56–0.93 0.77	1.0–2.1 1.6	0.9–10.0 5.7	17.0–39.1 27.3	27.7–44.4 33.3	16.5–55.2 39.4	0.88–4.69 3.18
Гл. извест- няк (2)*	0.76–0.82 0.79	0.42–0.50 0.62	0.9–1.1 1.0	1.0–2.2 1.6	26.8–34.2 30.5	35.8–48.2 42.0	17.6–37.4 27.5	0.86–2.50 1.68

Сокращения. Здесь и в табл. 3 алевр. – алевритистый; гл. – глинистый; кремн. – кремнистый; карб. – карбонатный. * ППП;

** образец обогащен U, Th содержащими акцессорными минералами.

чаются по содержанию отдельных ЕРЭ. Так, в силициатах заметно больше K и Th по сравнению с мергелями (табл. 2). Мергели, напротив, содержат немного больше U. Перечисленные различия особенно заметны при сопоставлении относительных вкладов ЕРЭ в суммарную радиоактивность и, соответственно, величинам Th/U отношений.

Зона Ab₁ сложена породами тех же основных литотипов, что и зона Bj₃. Однако, они резко отличаются более низкими концентрациями ЕРЭ и величинами суммарной радиоактивности (табл. 2). В зоне Ab₁, как и в зоне Bj₃, наиболее высокую радиоактивность и концентрации ЕРЭ имеют кремнистые глины. Силициты и мергели имеют близкие значения суммарной радиоактивности. Однако, содержание K и, особенно, Th в силициатах значительно выше, а U ниже, чем в мергелях. Поэтому рассматриваемые литотипы резко отличаются друг от друга относительным вкладом ЕРЭ в суммарную радиоактивность, а также величинами Th/U отношения (табл. 2).

В составе зоны Ab₂ выделяются те же три литотипа и известняк, который также как силициты и мергели относится к ППП. От аналогичных литотипов зоны Ab₁ рассматриваемые породы отличаются более низкими значениями суммарной радиоактивности и концентраций ЕРЭ (табл. 2). Кремнистые глины надежно отличаются от более кремнистых и карбонатных литотипов высокими значениями суммарной радиоактивности, обусловленной повышенными концентрациями ЕРЭ. Силициты также достаточно хорошо отли-

чаются от карбонатных литотипов более высокой радиоактивностью и содержанием в них ЕРЭ, особенно Th (табл. 2). Известняк характеризуется минимальным содержанием ЕРЭ и, соответственно, самой низкой величиной радиоактивности. В нем установлены крайне низкие концентрации U, из-за чего Th/U отношение резко повышается до 9.15 (табл. 2).

Зона Ab₃ сложена теми же литотипами, что и предыдущая. Значения и закономерности изменения их радиоактивности и содержаний ЕРЭ такие же, как в Ab₂. Необходимо отметить, что наряду с кремнистыми глинами, встречающимися в верхах зоны, в ее средней и нижней частях наблюдается исчезновение в ее составе аутигенного (биогенного) кремнезема, место которого постепенно занимает обломочный кварц и в меньшей степени зерна полевых шпатов алевритовой размерности. Второе отличие зоны Ab₃ от Ab₂ заключается в том, что: входящие в ее состав известняки, несмотря на минимальную относительно других литотипов радиоактивность, относительно обогащены U, и потому имеют самые низкие значения Th/U отношения (табл. 2).

В зоне Ab₄ выделяются три литотипа – алевритистые глины, мергели и известняки, из которых к ППП относятся последние два. Кремнистые разновидности здесь и ниже по разрезу уже не встречаются. Все выделенные литотипы контрастно различаются по суммарной радиоактивности и содержаниям в них ЕРЭ (табл. 2).

Зона Аб₅, самая нижняя в рассматриваемом разрезе, сложена теми же тремя литотипами. Как и в предыдущей зоне, они легко отличаются по суммарной радиоактивности и содержаниям ЕРЭ (табл. 2). Относительное обогащение карбонатных литотипов почти всех зон ураном, обуславливает более низкие Th/U отношения в них, чем в глинах. Исключение из этого, как показано выше, составляет только известняк зоны Аб₂.

Таким образом, используя данные о содержаниях ЕРЭ в верхнеюрских отложениях и их суммарной радиоактивности, можно достаточно надежно диагностировать не только зоны, выделяемые в их составе, но и основные литотипы, слагающие их, а среди последних, и ППП.

ОЦЕНКА ВОЗМОЖНОСТИ ОПРЕДЕЛЕНИЯ КОНЦЕНТРАЦИИ ГЛИНИСТЫХ МИНЕРАЛОВ И КЕРОГЕНА В ВЕРХНЕЮРСКИХ ОТЛОЖЕНИЯХ НА ОСНОВЕ ДАННЫХ О СОДЕРЖАНИИ В НИХ ЕРЭ

Для оценки содержания глинистых минералов в осадочных отложениях по данным скважинной гамма-спектрометрии, обычно используют их связь с концентрацией тория [10]. Анализ связи содержаний Th – сумма глинистых минералов для общей совокупности пород всего верхнеюрского разреза показал, что между этими параметрами связь весьма слабая ($R^2 = 0.4632$). Однако, разбиение общей совокупности на несколько частных (для разных зон) выборок и исследование корреляционных связей в них выявило существенные различия зон по силе связей (рис. 3). Высокой степенью корреляции ($R^2 = 0.7923$) характеризуется связь Th с глинистыми минералами в отложениях зон Бж₁–Бж₂ (рис. 3а). Напротив, в отложениях зоны Бж₃ связь между этими параметрами практически отсутствует (рис. 3б). В пределах зон Аб₁ и Аб₅ установлены связи с низкими коэффициентами корреляции (рис. 3в, 3е). Связи между Th и глинами, полученные для выборок образцов, отобранных в пределах зон Аб₂–3 и Аб₄ характеризуются высокими коэффициентами корреляции (рис. 3г, 3д).

С целью сравнения полученных для различных зон зависимостей линии регрессии содержания Th и суммы глинистых минералов сведены на один график (рис. 3ж). Их сопоставление показало, что наибольшие относительные концентрации Th, связанные с глинистыми минералами, отмечаются в зонах Бж₁–Бж₂ и Аб₂–Аб₃, а минимальные – в зонах Бж₃ и Аб₅. Полученные данные свидетельствуют о том, что зависимости Th–сумма глинистых минералов для разных зон верхнеюрских отложений существенно отличаются и корреляция для половины из них незначима. Поэтому определение содержания глинистых минералов в верхнеюрских отложениях по данным о концентрациях Th, полученным на ос-

нове скважинной гамма-спектрометрии, будут иметь значительную погрешность.

Анализ минералогического состава верхнеюрских отложений, результаты которого приведены в работе [8], показал, что среди минералов, входящих в их состав, калийсодержащими являются только глинистые минералы, так как калиевые полевые шпаты, содержащие обычно основную часть К в осадочных породах, здесь полностью отсутствуют. Исходя из этого факта, можно предположить, что связь К–сумма глинистых минералов должна иметь более высокую степень корреляции, чем рассмотренная выше связь между Th и глинистыми минералами.

Действительно, анализ построенных зависимостей содержание К–сумма глинистых минералов для тех же зон верхнеюрских отложений показал, что сила корреляционных связей между этими параметрами гораздо выше, чем между Th и глинистыми минералами (рис. 3 и 4). Величины коэффициентов корреляции для всех зон являются значимыми. Наиболее сильные связи между содержаниями К и глинистыми минералами отмечаются для отложений верхней части баженовской свиты (зона Бж₁) и средней части абалакской свиты (зоны Аб₂–Аб₄) (рис. 4а, 4г, 4д).

Для сопоставления все полученные для выделенных зон линии регрессии содержаний К и суммы глинистых минералов нанесены на одну диаграмму (рис. 4ж). Из нее видно, что наибольшая относительная концентрация К фиксируется в глинистых минералах, входящих в состав зон Аб₂–Аб₃, а минимальная – в составе глин из зон Аб₅ и Бж₃.

Полученные факты свидетельствуют, что для определения содержания глинистых минералов в составе верхнеюрских отложений лучше использовать полученные для каждой из зон зависимости между ними и К, а не Th. Поэтому на основе данных скважинной гамма-спектрометрии можно с достаточно высокой степенью точности прогнозировать содержания глинистых минералов в отложениях баженовской и абалакской свит, используя для этого полученные зависимости их содержаний от концентраций К (рис. 4).

Выше было отмечено, что закономерности распределения В в верхнеюрских отложениях представляют интерес по двум основным причинам: во-первых, из-за его влияния на показания некоторых разновидностей нейтронных геофизических методов, используемых для оценки содержания в породах водорода и, во-вторых, для палеогеографической реконструкции условий образования отложений.

Известна связь В с содержанием в породах глинистых минералов [16–19]. Выше было доказано наличие зависимости между концентрациями в верхнеюрских отложениях К и содержаниями глинистых минералов. Поэтому можно предположить, что также должна существовать связь между В и К.

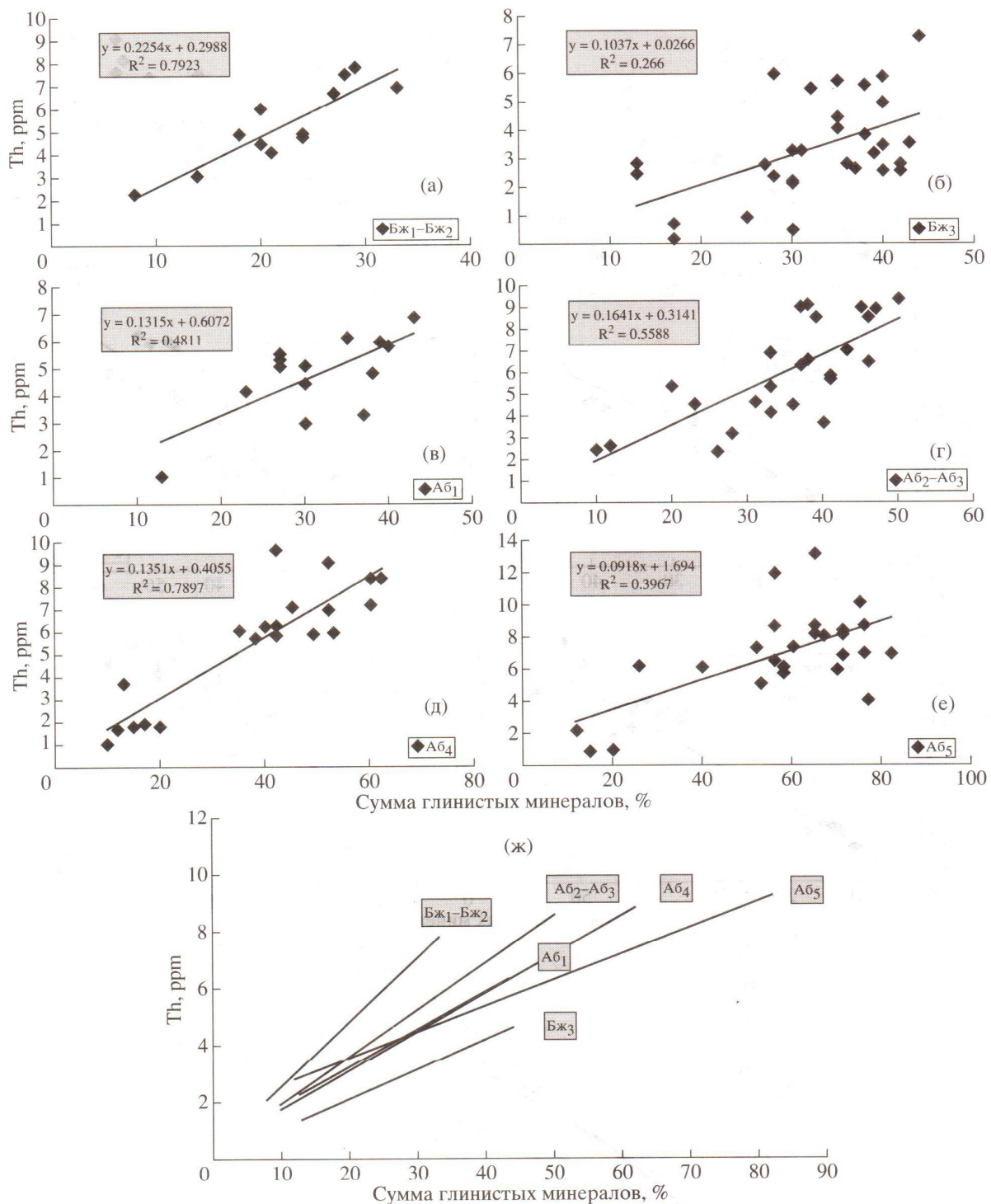


Рис. 3. Зависимости концентраций Th от суммарного содержания глинистых минералов в различных зонах верхнеюрских отложений центральной части Красноленинского свода.

Анализ зависимостей между содержаниями К и В в верхнеюрских отложениях подтверждает это (рис. 5). Однако для большинства зон эти связи слабые с низкими коэффициентами корреля-

ции (рис. 5б–5г, 5е, 5ж). Лишь в отложениях верхней и средней части баженовской свиты (зоны Бж₁-Бж₂), а также средней части абалакской свиты (зона Аб₃) связи между В и К значимы (рис. 5а, 5д).

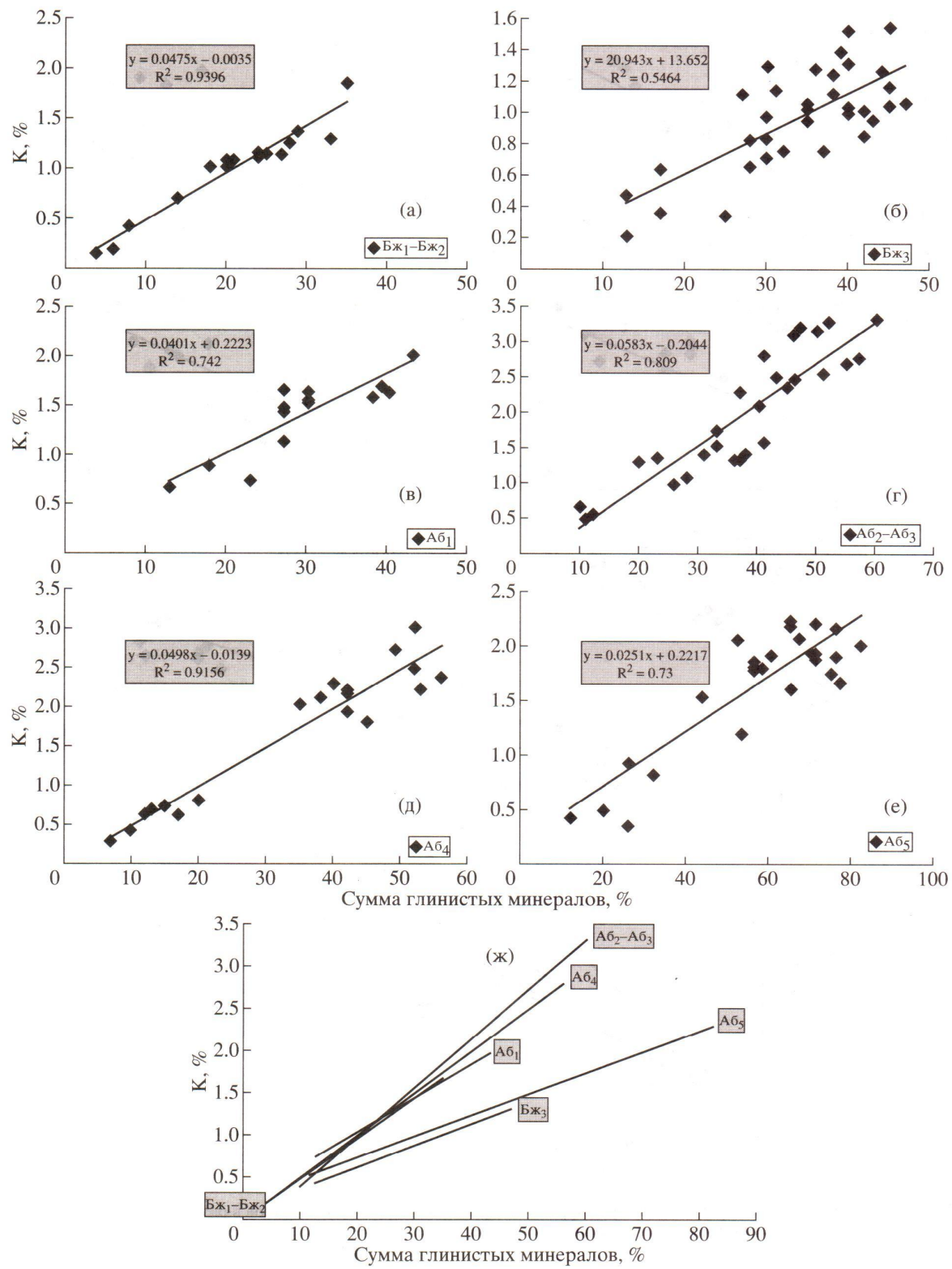


Рис. 4. Зависимости концентраций К от суммарного содержания глинистых минералов в различных зонах верхнеюрских отложений центральной части Красноленинского свода.

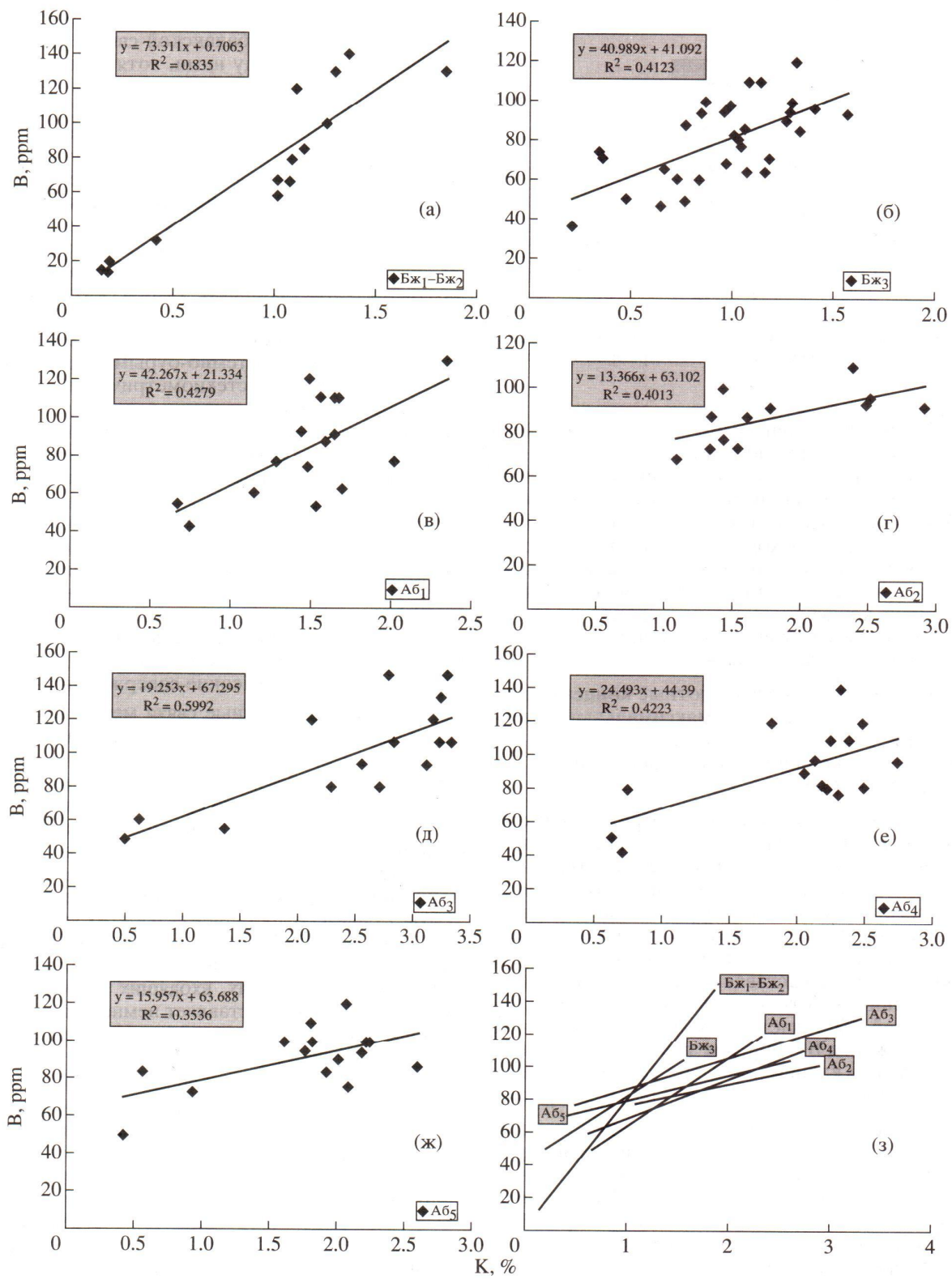


Рис. 5. Зависимости концентраций В от содержания К в различных зонах верхнеурских отложений Красноленинского свода.

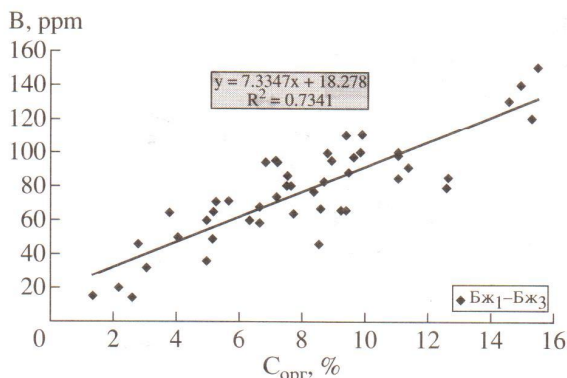


Рис. 6. Зависимость концентраций В от содержания С_{орг} в породах баженовской свиты Красноленинского свода

На обобщающей диаграмме, где сведены линии регрессии В–К, хорошо видно, что наиболее высокие относительные концентрации В с калийсодержащими минералами фиксируются в отложениях баженовской свиты, особенно в зонах Бж₁–Бж₂, а затем по мере перехода от зоны к зоне в разрезе сверху вниз, наблюдается постепенное выпадение линий регрессии и отмечается тенденция к снижению коэффициентов корреляции (рис. 5з). Исключением из этой закономерности является линия регрессии для зоны Аб₂.

Наиболее высокие абсолютные концентрации В отмечаются в породах с максимальным содержанием К (зоны Аб₃–Аб₄) (рис. 5д, 5е и табл. 1), что обусловлено наибольшим содержанием в них гидрослюд и ССО.

На приведенных диаграммах, отражающих связи между В и К в зонах Бж₁–Бж₂ исключены пробы с низким содержанием К и очень высоким – В, которые представлены образцами, обогащенными керогеном (С_{орг} в них 15–29%), а из диаграмм для зон Аб₃–Аб₅ исключены образцы карбонатных пород с очень высокими концентрациями В и низкими – К, представленные сидеритолитами, так как они явно отклоняются от полученных зависимостей. Это дает основание предполагать, что содержания В в породах зависят не только от концентрации калийсодержащих глинистых минералов, но также и от содержания С_{орг} и сидерита.

Чтобы проверить эти предположения, изучены зависимости содержаний В от концентраций С_{орг} и сидерита. Анализ полученных данных показал, что положительная связь между С_{орг} и В существует только в отложениях баженовской свиты (рис. 6), в которых, как показано выше, полностью отсутствует сидерит. Полученные данные свидетельствуют о том, что в битуминозных отложениях баженовской свиты В в заметном количестве накапливался не только глинистыми минералами (в первую очередь калийсодержащими), но и керогеном.

Корреляционный анализ содержаний В и сидерита в отложениях абалакской свиты не выявил значимой связи между ними, хотя сидеритолиты намного (в среднем в 3–5 раз) богаче В, чем известняки. Анализ литературных данных [23] показал, что В может сорбироваться пленками гидроокислов. Поэтому можно предположить, что сидеритолиты имеют повышенные концентрации В вследствие его сорбции тонкими пленками гидроокислов железа, покрывающих отдельные микрозерна или кристаллы сидерита, из которых состоят сидеритолиты. Наличие этих пленок косвенно подтверждается данными химических анализов сидеритолитов – в них содержится от 2 до 7% “избыточного” по отношению к СО₃ железа (в форме Fe₂O₃), а также их темно-бурым до коричневого цветом (агрегаты стехиометрического сидерита имеют серую, иногда с желтоватым или зеленоватым оттенком, окраску). Микроскопические исследования петрографических шлифов сидеритолитов подтверждают наличие таких пленок. Отсутствие зависимости между концентрациями В и сидерита в отложениях абалакской свиты, скорее всего, объясняется тем, что основным порообразующим компонентом в них, помимо сидерита, являются глинистые минералы, в которых активно концентрируется В. Поэтому, независимо от концентрации сидерита в породах, присутствие глинистых минералов всегда обеспечивает достаточно высокие содержания В в них.

Используя полученные связи между К и В для отложений средней и нижней частей абалакской свиты (зоны Аб₃–Аб₅) можно приблизительно оценить долю В, не связанного с глинистыми минералами, а, вероятно, входящего тем или иным образом в состав пленок гидроокислов железа (а также в лейкоксен?). Для этого достаточно принять концентрацию К, равной нулю. Тогда по полученным уравнениям регрессий искомое значение В будет равно коэффициенту *b* в этих уравнениях (рис. 5д–5ж). Самое высокое содержание В, не связанного с К, а значит с глинистыми минералами, отмечается в отложениях, входящих в состав зоны Аб₅ – 63.7 ppm, что составляет немногим более половины максимальной концентрации В, определенной в отложениях этой зоны (рис. 5ж).

На основе полученных данных о связях В с К (глинистыми минералами), С_{орг} и гидроокислами железа (присутствующими, главным образом, в виде пленок на поверхности микрозерен сидерита), можно заключить, что основными концентраторами В в верхнеюрских отложениях являются глинистые минералы (особенно калийсодержащие), пленки гидроокислов железа (связанные с сидеритом и лейкоксеном?), а также кероген. Поэтому на основе данных скважинной гамма-спектрометрии, используя полученные связи между К и В, достаточно надежно можно прогнозировать содержание В только в отложениях верхней и средней час-

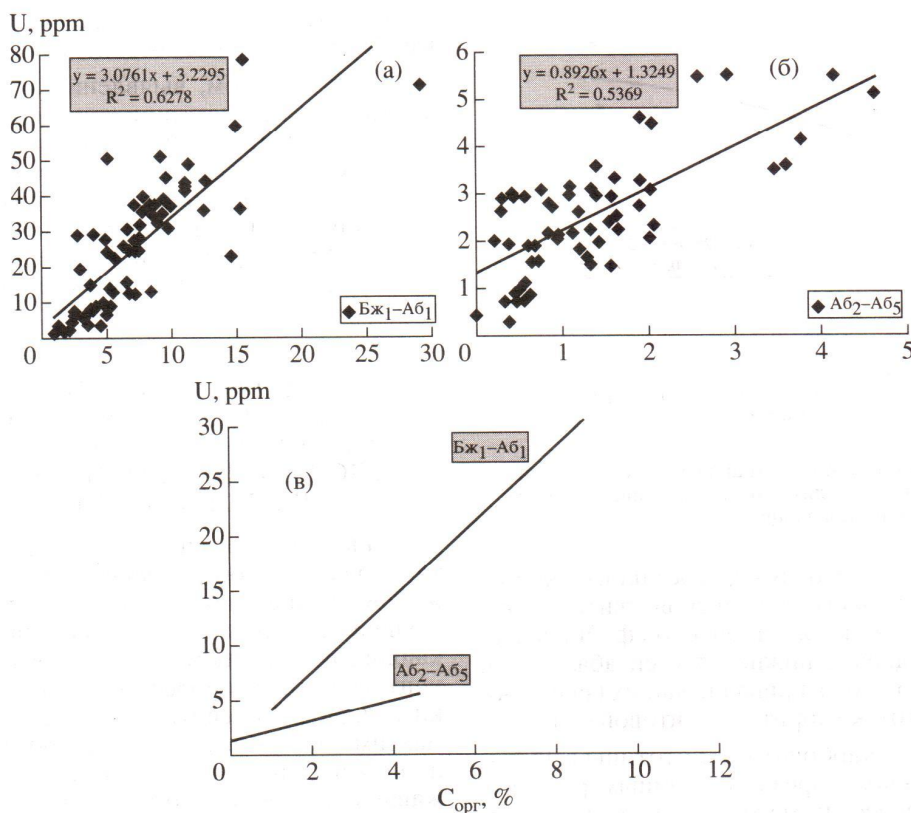


Рис. 7. Зависимости концентраций U от содержания $C_{\text{орг}}$ в породах баженовской и верхней части абалакской свиты (а), средней и нижней частей абалакской свиты (б) Красноленинского свода и сопоставление линий регрессии U– $C_{\text{орг}}$ (в).

тей отложений баженовской (зоны Бж₁–Бж₂) и средней части абалакской (зона Аб₃) свит.

Фундаментальной для U считается его связь с органическим веществом [10–15]. Действительно, и в верхнеюрских отложениях центральной части Красноленинского свода наблюдается устойчивая прямо пропорциональная линейная зависимость между концентрацией U и содержанием в них $C_{\text{орг}}$. Причем как и в выше рассмотренных зависимостях, наиболее высокие коэффициенты корреляции U– $C_{\text{орг}}$ связи характерны для отдельных зон, а не для всей верхнеюрской толщи в целом (рис. 7). Повышенные концентрации U, связанные с $C_{\text{орг}}$ установлены в отложениях баженовской и верхней части абалакской свит (зоны Бж₁–Бж₂ и Аб₁) (рис. 7а). Для отложений средней и нижней частей абалакской свиты (зоны Аб₂–Аб₅) характерны пониженные содержания $C_{\text{орг}}$ и, соответственно, U (рис. 7б), а линия регрессии U– $C_{\text{орг}}$ располагается более полого (рис. 7в).

Относительно невысокие значения коэффициентов корреляции между U и $C_{\text{орг}}$ объясняются тем, что по данным радиографии U в верхнеюрских отложениях связан не только с керогеном, но также и с фосфатами (главным образом, с ихтиодетритом [13]), а также с акцессорными мине-

ралами (цирконом, монацитом, ксенотитом и др.). В последнем случае, как правило, наряду с ростом концентраций U отмечается также увеличение содержаний Th.

Различия в градиентах изменения содержаний U относительно $C_{\text{орг}}$ и, соответственно, в углах наклона линий регрессии для различных зон, скорее всего, объясняются различиями в геохимической обстановке, существовавшей во время отложения и диагенеза осадков баженовской и абалакской свиты и величиной окислительно-восстановительного потенциала, от которого, как известно, зависит миграционная активность U [10–15]. В условиях пиритовой фации (при прочих равных условиях) вследствие ее более высокого восстановительного потенциала, чем у хлорит-сидеритовой, осуществлялось более полное осаждение растворенного U в наддонной воде шестивалентного U вследствие его восстановления до четырехвалентной (слаборастворимой) формы.

Несмотря на относительно невысокие коэффициенты корреляции, связи U с $C_{\text{орг}}$ являются значимыми и на их основе по данным скважинной гамма-спектрометрии можно прогнозировать содержание керогена в верхнеюрских отложениях, причем для этого следует использовать две полу-

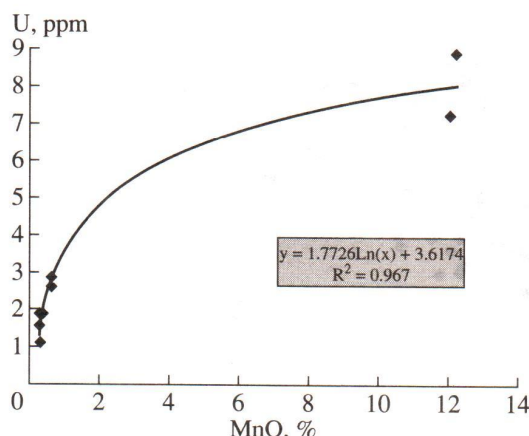


Рис. 8. Зависимость концентрации U от содержания MnO в карбонатных литотипах, в составе которых присутствует манганокальцит.

ченные зависимости: одну – для осадков баженовской и верхней части абалакской свиты (зоны Бж₁-Аб₁), относящихся к пиритовой фации и вторую – для средней и нижней частей абалакской свиты (зоны Аб₂-Аб₅), принадлежащих (за исключением зоны Аб₂) к хлорит-сiderитовой фации.

Известно, что карбонатные литотипы выделяются в осадочных разрезах по данным радиоактивных геофизических методов пониженной суммарной радиоактивностью, что объясняется низким содержанием в них радиоактивных элементов, о чем уже говорилось выше. Однако в отложениях верхней части абалакской свиты были обнаружены образцы карбонатных пород с повышенной концентрацией U (табл. 2). Их исследования с использованием комплекса физических и химических методов, включающих оптическую и электронную микроскопию, рентгено-структурный и атомно-абсорбционный анализ, показали, что кроме обычных карбонатных минералов (кальцита, доломита) в них присутствует манганокальцит, а такие хорошо известные концентраторы U, как фосфаты, акцессорные минералы и кероген практически отсутствуют (первые) или находятся в следовых концентрациях (последний).

Сопоставление между собой содержания Mn и концентрации U в этих образцах позволило обнаружить надежную положительную связь между этими элементами (рис. 8). Детальные исследования с помощью оптической и электронной микроскопии позволили установить наличие на поверхности микрозерен манганокальцита тонких пленок MnO, которые придают этим образцам темно-серый цвет. Можно предположить, что обогащение манганокальцита ураном происходит благодаря восстановительным свойствам двуокиси марганца [24], слагающей эти пленки, по известной схеме, когда U⁶⁺, находящийся в растворенном состоянии в наддонном слое воды, восстанавливаясь,

в данном случае за счет окисления Mn²⁺, переходит в слабо растворимые соединения U⁴⁺ [3, 13–15].

Таким образом, выявление по данным скважинной гамма-спектрометрии известняков с повышенной радиоактивностью урановой природы может свидетельствовать о том, что в их состав входит манганокальцит или родохрозит. Однако в трещиноватых карбонатных породах возможно также присутствие урансодержащих метаморфизованных битумоидов, которые могут обладать повышенной ураноносностью [12].

ПАЛЕОГЕОГРАФИЧЕСКАЯ РЕКОНСТРУКЦИЯ УСЛОВИЙ ОБРАЗОВАНИЯ ВЕРХНЕЮРСКИХ ОТЛОЖЕНИЙ НА ОСНОВЕ АНАЛИЗА РАСПРЕДЕЛЕНИЯ В НИХ ЕРЭ И В

Существуют различные точки зрения относительно условий образования верхнеурских отложений в пределах Западно-Сибирской плиты. Большинство исследователей считает, что они накапливались в постепенно погружавшемся эпиконтинентальном морском бассейне, причем осадки баженовской свиты отлагались в момент его максимального по амплитуде прогибания, на фоне почти полной плененизации рельефа окружающей его суши, что приводило к некомпенсированному осадконакоплению в этом бассейне [1–5, 25, 26].

Однако полученные нами и представленные выше данные могут показывать скорее на более мелководные условия накопления этих отложений. Рассмотрим этот вопрос более подробно.

Для реконструкции палеогеографических условий накопления верхнеурских осадков абсолютные содержания В в породах пересчитаны в относительные – на глинистые минералы, условно принимая, что породы состоят на 100% из глин, так как выше было показано, что именно они (наряду с керогеном и siderитом) являются основными концентраторами В. При пересчете содержаний В в породах зон Бж₁-Бж₃ на глинистую основу, вычиталась доля бора, связанного с керогеном. Для этого допускалось, что В концентрируется в керогене примерно в том же количестве на единицу массы, что и в глинистых минералах. Долю В, связанную в siderитолитах с гидроокислами железа, оценить не удалось. В результате этого его относительная концентрация в siderитолитах явно завышена.

Данные по содержаниям В в различных литотипах сведены в табл. 3. Ее анализ показывает, что самые низкие относительные концентрации В характерны для глинистых литотипов. Содержания В в кремнистых литотипах немного выше, а максимальные относительные концентрации В установлены в карбонатных типах пород.

Таблица 3. Вариации содержаний бора в различных литологических типах пород верхнеюрских отложений центральной части Красноленинского свода

Зона, литотип (кол-во обр.)	Содержание В, ppm		Зона, литотип (кол-во обр.)	Содержание В, ppm	
	в породе	в пересчете на глинистую основу		в породе	в пересчете на глинистую основу
Фр, слабоалевр. глина (4)	<u>76–83</u> 81	<u>124–165</u> 148	Гл. силицит (6)	<u>77–100</u> 90	<u>202–365</u> 270
Мергель (1)*	120	480	Кремн.-гл. мергель (2)	<u>68–73</u> 71	<u>221–243</u> 232
Бж ₁ , гл. силицит (9)**	<u>46–150</u> 88	<u>219–556</u> 377	Известняк (1)	23	288
Бж _{1.1} , гл. силицит (2)**	130	<u>371–394</u> 383	Аб ₃ , кремн. и алевр. глины (12)	<u>100–160</u> 128	<u>185–381</u> 254
Бж ₂ , мергель (2)**	<u>120–130</u> 125	<u>500–722</u> 611	Мергель (2)*	<u>81–130</u> 106	<u>352–520</u> 436
Известняк (4)	<u>14–32</u> 20	<u>350–475</u> 406	Известняк (2)*	<u>76–110</u> 93	<u>691–733</u> 712
Бж ₃ , кремн. глина (23)	<u>49–110</u> 83	<u>153–327</u> 219	Аб ₄ , алевр. глина (13)	<u>56–140</u> 97	<u>108–267</u> 202
Карб.-гл. силицит (6)	<u>50–95</u> 73	<u>200–385</u> 279	Мергель (1)*	80	444
Гл.-кремн. мергель (3)	<u>36–71</u> 51	<u>220–418</u> 303	Известняк (1)	51	300
Аб ₁ , кремн. глина (10)	<u>53–130</u> 82	<u>159–371</u> 231	Известняк (3)*	<u>110–120</u> 117	<u>917–1571</u> 1203
Карб.-гл. силицит (5)	<u>42–120</u> 92	<u>183–533</u> 370	Аб ₅ , алевр. глина (13)	<u>76–120</u> 89	<u>114–231</u> 154
Мергель (2)	<u>54–110</u> 82	<u>407–415</u> 411	Мергель (3)*	<u>73–110</u> 89	<u>280–494</u> 372
Аб ₂ , кремн. глина (5)	<u>73–110</u> 90	<u>197–244</u> 220	Гл. известняк (1)*	50	510

* Карбонатные литотипы, сложенные главным образом или полностью сидеритом.

** Образцы с высоким (до 18%) и очень высоким (до 32%) содержанием керогена.

На основе литературных данных [16–19] можно допустить, что относительная концентрация В в одних и тех же литотипах различных зон зависит главным образом от палеосолености морской воды. Поэтому можно выявить закономерности ее изменения в процессе накопления верхнеюрских отложений. В свою очередь, соленость морской воды определяется палеогеографическими условиями, существовавшими в верхнеюрское время.

Остановимся, прежде всего, на глинистых литотипах, поскольку они, во-первых, встречаются в семи из восьми выделенных зон, а, во-вторых, на содержание В в них минимальное влияние оказы-

зывают другие компоненты, такие как сидерит или кероген.

Самые низкие относительные концентрации В в глинистых литотипах свидетельствуют о том, что в момент их накопления происходило достаточно активное поступление речных вод в морской бассейн, которые не только поставляли в него терригенный глинисто-алевритистый материал, но и опресняли его воды. Очевидно, что значительное влияние на соленость морских вод реки могли оказывать лишь в том случае, если объем бассейна был не очень большим. Иными словами, он должен был быть мелководным, так как известно, что площадь его распространения в

рассматриваемый период была огромной (немногим менее 1 миллиона км²).

Известно также, что увеличение интенсивности речного стока сопровождается ростом Th/U отношения в осадках [20, 21]. Поэтому логично ожидать, что понижение концентрации В в осадках должно сопровождаться увеличением величины Th/U отношения. Действительно, наблюдается достаточно устойчивая тенденция увеличения Th/U отношения по мере уменьшения относительного содержания В в глинистых минералах различных литотипов верхнеюрских отложений.

Сравнивая относительные концентрации В и Th/U отношения в глинистых литотипах, входящих в состав различных зон, можно проследить изменение палеогеографических условий их накопления. В момент накопления отложений зоны Аб₅, в слагающих ее глинистых литотипах, отмечаются самые низкие в верхнеюрских осадках относительные концентрации В и, напротив, самые высокие значения Th/U отношения (табл. 2 и 3). Это свидетельствует о том, что воды трансгрессирующего морского бассейна в это время интенсивно разбавлялись речным стоком, причем высокие Th/U отношения свидетельствуют о довольно близком расположении источников сноса [11–14, 20, 21]. Постепенное увеличение относительной концентрации В и уменьшение Th/U отношения в глинистых литотипах в перекрывающих эту зону отложения абалакской и баженовской свит свидетельствует об уменьшении объема речного стока, удалении источников терригенного материала и росте палеосолености морских вод. Все это может объясняться значительной аридизацией палеоклимата в сочетании с мелководностью эпиконтинентального морского бассейна, существовавшего в пределах центральной части Красноленинского свода в верхнеюрское время. Мелководные, возможно близкие к лагунным, условия существовали вплоть до нижнемелового времени, когда произошло резкое погружение дна эпиконтинентального бассейна, вызвавшее, с одной стороны, поступление больших масс менее соленых морских вод, а с другой – активный привнос терригенного глинисто-алевритового материала вместе с речными водами. Действительно, относительная концентрация В в подошвенных отложениях фроловской свиты снижается до несколько меньших значений, чем в породах абалакской свиты (табл. 3). Однако довольно низкие Th/U отношения (0.89) в осадках фроловской свиты свидетельствуют о достаточно удаленном расположении источников поступавшего в них терригенного материала, чем они и отличаются от отложений подошвенной части абалакской свиты (табл. 2).

Кремнистые литотипы (силициты) имеют более высокое относительное содержание В, чем глинистые, что свидетельствует о возрастании

палеосолености морской воды в периоды их накопления. Низкое содержание в их составе терригенного глинистого материала свидетельствует о слабой активности речного стока в это же время, что, как уже отмечалось выше, скорее всего объясняется более аридным климатом, чем в этапы накопления глинистых пород. Теплый климат и мелководные условия способствовали активной жизнедеятельности морских организмов и, как следствие, – накоплению органического и кремнистого материала биогенного происхождения, который в эти периоды очень слабо “разбавлялся” терригенной примесью.

Максимальное относительное содержание В в глинистых минералах отмечается в карбонатных литотипах – мергелях и, особенно, в известняках. Следовательно, они накапливались в условиях максимальной палеосолености морских вод, скорее всего, в моменты наибольшей аридизации палеоклимата, причем в самых приподнятых участках морского дна (типа банок). Именно в этих условиях формировались хемогенные известняки. Об этом же свидетельствует присутствие доломита в составе известняков и мергелей.

На основе анализа результатов ГИС и, в частности, скважинной гамма-спектрометрии возможно выделение ППП в разрезах скважин, вскрывших верхнеюрские отложения. Однако эта информация носит дискретный характер и не дает представления о площадном распространении ППП, особенно в неразбуренных участках. Прогноз зон площадного распространения ППП в пределах Красноленинского свода можно попытаться осуществить на основе проведенной палеогеографической реконструкции условий накопления верхнеюрских осадков.

Кремнистые литотипы (силициты) накапливались в условиях теплого климата в мелководных лагунах различного размера, из которых состоял верхнеюрский эпиконтинентальный бассейн. Их распространение и мощность определялась биопродуктивностью микроорганизмов с кремнистым скелетом (радиолярии, диатомеи?). Поэтому можно предположить, что пласти, сложенные этим типом пород, имеют значительную протяженность и хорошую коррелируемость, обусловленную сезонной или более глобальной изменчивостью палеоклимата.

Распространение карбонатных литотипов, как было показано выше, скорее всего обусловлено морфологией поверхности дна палеобассейна. Поэтому, в отличие от кремнистых литотипов, карбонатные породы должны иметь меньшую протяженность и хуже коррелироваться в разрезах соседних скважин. Предполагается, что они будут приурочены к приподнятым участкам дна палеобассейна. Поэтому с целью прогноза зон их распространения в пределах рассматриваемой

площади можно использовать результаты палеоструктурных реконструкций на основе данных сейсморазведки.

ОБСУЖДЕНИЕ РЕЗУЛЬТАТОВ

Анализ особенностей распределения ЕРЭ в верхнеюрских отложениях центральной части Красноленинского свода позволил произвести их стратификацию и корреляцию на основе выделения в их разрезе 8 зон, которые были установлены первоначально по данным литолого-минералогических исследований.

На основе данных о содержаниях ЕРЭ и суммарной радиоактивности в составе этих зон выделены также главные литологические типы пород, а среди них – ППП, представленные кремнистыми и карбонатными литотипами, которые надежно отличаются от остальных литотипов пониженными значениями суммарной радиоактивности, а между собой, главным образом, абсолютными значениями и величиной процентных вкладов К, У и Тh в общую радиоактивность. Поэтому используя данные скважинной гамма-спектрометрии, можно выделять в составе верхнеюрских отложений не только зоны, но и отдельные литологические типы пород, входящие в их состав, а среди них – ППП, которые могут содержать углеводородные залежи во вторичных коллекторах трещинно-кавернозного типа.

Оценку емкостных свойств ППП и других литотипов предлагается осуществлять на основе нейтронных геофизических методов, позволяющих определить общее водородосодержание пород. Используя полученные связи между К и суммарным содержанием глинистых минералов, а также между У и С_{орг}, можно по данным скважинной спектрометрии оценить долю водорода, связанную с глинами и керогеном и вычитая ее из величины суммарного водородосодержания пород определить количество водорода, входящего в состав флюидов, заполняющих пустоты в верхнеюрских отложениях. Полученная в результате этого величина водородосодержания и будет соответствовать искомому значению пористости пород, определяемому по данным нейтронных геофизических методов.

Приведенные в работе данные о содержаниях В в верхнеюрских отложениях позволили выявить основные закономерности его распределения в различных литотипах, включая ППП, а также главные концентрирующие его компоненты (калийсодержащие глинистые минералы, кероген, сидерит, возможно, лейкоксен).

Установленные зависимости между К и В для пород, входящих в различные зоны верхнеюрских отложений свидетельствуют о том, что на основе скважинной гамма-спектрометрии можно

надежно прогнозировать концентрации В только в породах верхней и средней частей баженовской и средней части абалакской свиты, что объясняется, главным образом, высокими абсолютными содержаниями в составе пород этих зон калийсодержащих глинистых минералов. В остальных зонах концентрации В будут оцениваться со значительными ошибками, что следует иметь ввиду при учете его влияния (из-за аномально большого радиуса захвата нейтронов) на результаты некоторых разновидностей нейтронных геофизических методов.

Анализ данных о распределении Th/U отношения и содержаний В в породах различных зон верхнеюрских отложений позволил провести палеогеографическую реконструкцию условий их образования и на основе этого прогнозировать закономерности площадного распространения ППП различного состава.

Основываясь на проведенной палеогеографической реконструкции условий образования верхнеюрских отложений, можно предположить, что силициты должны иметь более широкое площадное распространение и лучшую коррелируемость между собой, чем пласти мергелей и известняков. Поэтому с ними, вероятно, связана значительная доля запасов углеводородного сырья, содержащегося в верхнеюрских отложениях.

С целью прогноза зон распространения ППП, сложенных карбонатными литотипами, следует использовать палеоструктурные реконструкции, выполненные на основе результатов сейсморазведки, так как эти типы ППП, скорее всего, будут приурочены к наиболее приподнятым участкам дна верхнеюрского моря. Так как карбонатные породы более растворимы чем кремнистые, то можно предположить, что в них будут формироваться коллекторы с более высокими фильтрационно-емкостными свойствами. Поэтому выработка запасов углеводородов, содержащихся в них, будет осуществляться быстрее, чем находящихся в кремнистых типах ППП.

В заключение следует отметить, что поскольку в формировании вторичных коллекторов предполагается участие гидротермальных флюидов, то следует ожидать перераспределение миграционноспособных компонентов в верхнеюрских отложениях. Однако в силу чрезвычайно низкой проницаемости основной части литотипов, слагающих разрез этих отложений (проницаемость менее 0.1 милидарси), перенос компонентов на значительные расстояния вряд ли возможен, за исключением лишь зон дробления, образующихся в ППП. Поэтому только в этих участках можно ожидать заметную степень перераспределения миграционноспособных компонентов.

Автор благодарен О.В. Николаевой и Э.Н. Баранову за помощь при подготовке рукописи статьи к печати.

СПИСОК ЛИТЕРАТУРЫ

1. Брадучан Ю.В., Гурапи Ф.Г., Захаров В.А. и др. Баженовский горизонт Западной Сибири (стратиграфия, палеогеография, экосистема, нефтеносность). Новосибирск: Наука, 1986. 236 с.
2. Конторович А.Э., Нестеров И.И., Салманов Ф.К. и др. Геология нефти и газа Западной Сибири. М.: Недра, 1975. 680 с.
3. Гурапи Ф.Г. Об условиях накопления и нефтеносности баженовской свиты Западной Сибири // Тр. СНИИГГиМС. Новосибирск, 1979. Вып. 271. С. 153–160.
4. Зарипов О.Г., Ушатинский И.Н. Особенности формирования и состава битуминозных отложений баженовской свиты в связи с их нефтеносностью // Тр. ЗапСибНИГНИ. Тюмень, 1976. Вып. 113. С. 53–71.
5. Зубков М.Ю., Мормышев В.В. Вещественный состав и условия образования пород баженовской свиты Салымского месторождения // Литология и полезные ископаемые. 1987. № 2. С. 73–80.
6. Дорофеева Т.В., Аристаров М.Г., Блинкова Е.Ю. и др. Локальный прогноз залежей нефти баженовской свиты. ВНИГРИ. М.: Недра, 1992. 142 с.
7. Нестеров И.И. Новый тип коллектора нефти и газа // Геология нефти и газа. 1979. № 10. С. 26–29.
8. Зубков М.Ю., Мулявин К.М., Чуйко А.И. Литолого-стратиграфическая характеристика отложений баженовской и абалакской свит центральной части Красноленинского свода // В кн.: Основные направления научно-исследовательских работ в нефтяной промышленности Западной Сибири. Тюмень: СибНИИНП, 1998. С. 138–158.
9. Зубков М.Ю., Бондаренко П.М. Прогноз зон повышенной продуктивности на основе комплексирования данных сейсморазведки и тектоно-физического моделирования // В кн.: Основные направления научно-исследовательских работ в нефтяной промышленности Западной Сибири. Тюмень: СибНИИНП, 1997. С. 15–34.
10. Фертал В.Х. Спектрометрия естественного гаммаизлучения в скважинах // Нефть, газ и нефтехимия за рубежом. 1983. № 3–6, 8, 10.
11. Готтих Р.П. Радиоактивные элементы в нефтегазовой геологии. М.: Недра, 1980. 254 с.
12. Пеньков В.Ф. Уран и углеводороды. М.: Недра, 1989. 144 с.
13. Плуман И.И. Ураноносность черных битуминозных аргиллитов верхней юры Западно-Сибирской плиты // Геохимия. 1971. № 11. С. 1362–1367.
14. Смыслов А.А. Уран и торий в земной коре. Л.: Недра, 1974. 232 с.
15. Хабаров В.В., Нелепченко О.М., Волков Е.Н. и др. Уран, калий и торий в битуминозных породах баженовской свиты Западной Сибири // Советская геология. 1980. № 10. С. 94–105.
16. Валиев Ю.Я. Геохимия бора в юрских отложениях Гиссарского хребта. М.: Наука, 1977. 152 с.
17. Горбов А.Ф. Геохимия бора. М.: Недра, 1976. 206 с.
18. Хардер Г. Геохимия бора. М.: Недра, 1965. 135 с.
19. Щербов Б.Л. Геохимия бора в корах выветривания каолинового типа. Новосибирск: Наука, 1982. 112 с.
20. Ковалев В.А. Геохимические аспекты исследования отношения Th/U в осадочных породах // Геохимия. 1965. № 9. С. 1171–1173.
21. Adams J.A.S., Weaver C.E. Thorium-to-uranium ratios as indicators of sedimentary process: example of concept of geochemical facies. Bull. Amer. Assoc. of Petroleum Geologists. 1958. V. 42. P. 387–430.
22. Зубков М.Ю., Зубарева Н.М., Сайфуллина А.Х. Органическое вещество баженовской свиты Салымского месторождения // Геология нефти и газа. 1988. № 5. С. 19–25.
23. Родионова М.А., Мун А.И., Маркина Т.И., Косенко Т.Л. О формах соосаждения борат-ионов гидрокисями // Изв. АН Каз. ССР. Сер. хим. 1971. № 4. С. 16–20.
24. Полинг Л., Полинг П. Химия. М.: Мир, 1978. 684 с.
25. Захаров А.А., Сакс В.Н. Баженовское (волжско-берриасское) море Западной Сибири // В кн.: Палеогеография и биостратиграфия юры и мела Сибири. М., 1983. С. 5–32.
26. Филина С.И., Корж М.В., Зонн М.С. Палеогеография и нефтеносность баженовской свиты Западной Сибири. М.: Наука, 1984. 36 с.